

Федеральное государственное бюджетное учреждение науки  
Физический институт им. П. Н. Лебедева  
Российской академии наук

На правах рукописи

Зайцев Андрей Александрович

**ИССЛЕДОВАНИЕ ДИССОЦИАЦИИ РЕЛЯТИВИСТСКИХ ЯДЕР  
 $^{10}B$ ,  $^{11}C$  И  $^{12}C$  МЕТОДОМ ЯДЕРНОЙ ФОТОЭМУЛЬСИИ**

Специальность

01.04.16 – Физика атомного ядра и элементарных частиц

АВТОРЕФЕРАТ

диссертации на соискание ученой степени  
кандидата физико-математических наук

Автор:



**Москва – 2019**

Работа выполнена в Лаборатории физики высоких энергий им. В.И. Векслера и А.М. Балдина (ЛФВЭ) Международной межправительственной организации Объединенный институт ядерных исследований (ОИЯИ).

Научный руководитель: доктор физико-математических наук,  
**ЗАРУБИН Павел Игоревич**

Официальные оппоненты: доктор физико-математических наук,  
**ДЕМЬЯНОВА Алла Сергеевна**  
Федеральное государственное бюджетное  
учреждение «Национальный исследовательский  
центр «Курчатовский институт»  
начальник лаборатории ядерных структур.

кандидат физико-математических наук  
**ЧЕРНЫШЕВ Борис Андреевич**  
Федеральное государственное автономное  
образовательное учреждение высшего образования  
«Национальный исследовательский ядерный  
университет «МИФИ»  
доцент кафедры № 40.

Ведущая организация: Федеральное государственное бюджетное  
учреждение «Государственный научный центр  
Российской Федерации «Институт физики высоких  
энергий» имени А.А. Логунова, Национального  
исследовательского центра «Курчатовский  
институт», г. Протвино.

Защита состоится «10» июня 2019 г. в 12 час. 00мин. на заседании  
диссертационного совета Д 002.023.04 по защите докторских и кандидатских  
диссертаций Федерального государственного бюджетного учреждения науки  
Физического института им. П.Н. Лебедева Российской академии наук,  
конференц-зал, по адресу: 119991, г. Москва, Ленинский проспект 53, ФИАН.

С диссертацией можно ознакомиться в библиотеке Физического Института им.  
П.Н. Лебедева РАН и на сайте института: [www.lebedev.ru](http://www.lebedev.ru), с авторефератом – на  
сайте ФИАН [www.lebedev.ru](http://www.lebedev.ru).

Автореферат разослан «\_\_» \_\_\_\_ 2019 г.

Ученый секретарь  
диссертационного совета  
Д 002.023.04, д.ф.-м.н.

**БАРАНОВ**  
Сергей Павлович

## **Общая характеристика работы**

Диссертация посвящена экспериментальному исследованию особенностей диссоциации релятивистских ядер  $^{10}B$  ( $1.6 A \text{ ГэВ}/c$ ),  $^{11}C$  ( $2.0 A \text{ ГэВ}/c$ ) и  $^{12}C$  ( $1$  и  $4.5 A \text{ ГэВ}/c$ ) методом ядерных фотоэмульсий (ЯЭ). Материалом исследования служат слои ЯЭ, облученные в пучках релятивистских стабильных и радиоактивных ядер на ускорительных установках ОИЯИ (нуклонрон) и ИФВЭ (бустер ускорителя У-70). Цель работы заключается в прослеживании кластерной эволюции легких ядер  $^{10}B$  и  $^{11}C$ , установление роли нестабильных ядер  $^8Be$  и  $^9B$  в изучаемых ядрах и идентификации событий с образованием троек  $\alpha$ -частиц в состоянии Хойла (СХ) в диссоциации релятивистских ядер  $^{12}C$ . Задача исследования состоит в определении особенностей структуры ядер  $^{10}B$  и  $^{11}C$  по вероятностям образования возможных конфигураций заряженных фрагментов, что включает в себя определение кинематических характеристик вылета вторичных фрагментов, в том числе изотопная идентификация ядер Не и Н. В объединении с данными по соседним ядрам, эта информация позволит получить целостную картину кластеризации в семействе ядер в начале таблицы изотопов.

**Актуальность темы исследования.** Данное исследование является логическим продолжением исследовательских работ, выполняемых в рамках эксперимента Беккерель на нуклонроне ОИЯИ, основная задача которого заключается в изучении кластерной эволюции легких стабильных и радиоактивных ядер. В качестве структурного элемента (кластера) в легких ядрах выступают виртуальные малонуклонные ассоциации, не имеющие возбужденных состояний, такие как:  $^4He$  ( $\alpha$ ,  $\alpha$ -частица),  $^3He$  ( $h$ , гелион),  $^3H$  ( $t$ , тритон) и  $^2H$  ( $d$ , дейtron). Возможные комбинации нуклонов и кластеров образуют группу легких ядер в начале таблицы изотопов, в числе которых нестабильные ядра. В свою очередь легкие ядра, такие как  $^5He$ ,  $^5Li$ ,  $^8Be$ , могут

играть роль ядра-основы в структуре более тяжелых ядер. В диссоциации ядра  $^{10}B$  природа каналов с образованием двух фрагментов Не и одного Н не была изучена ранее. Источником таких мод диссоциации могут быть распады ядер  $^8Be \rightarrow 2\alpha$  и  $^9B \rightarrow 2\alpha + p$ . Такой эффект был установлен ранее при исследовании диссоциации релятивистского ядра  $^{10}C$ , причем  $^9B$  проявлялся как единственный источник ядра  $^8Be$  в основном состоянии. Предположение о возможном присутствии нестабильных ядер  $^8Be$  и  $^9B$  в ядерной структуре было распространено на ближайший изотоп –  $^{11}C$ , в котором также наблюдаются каналы с большой множественностью фрагментов Не и Н. Полученный опыт реконструкции распадов нестабильных ядер  $^8Be$  и  $^9B$  в ультра узкие струи фрагментов при фрагментации ядер  $^{10}B$  и  $^{11}C$  был расширен для поиска распадов релятивистских ядер  $^{12}C$  из второго возбужденного состояния, состояния Хойла.

Традиционно исследования кластерных степеней свобод от носятся к физике низких энергий, однако при продвижении в релятивистский масштаб энергий возникает ряд преимуществ детектирования, в том числе возможность изучения целого класса радиоактивных ядер. В диссоциации релятивистского ядра кластерные особенности проявляются в наиболее периферических взаимодействиях (так называемые «белые» звезды), протекающих без перекрытия ядерных плотностей сталкивающихся ядер (Рисунок 1). В экспериментальном плане диссоциация релятивистского ядра представляет собой узкую струю вторичных фрагментов, сосредоточенных в переднем конусе фрагментации, угол раствора которого составляет несколько миллирадиан. Применение магнитных спектрометров с электронным методом детектирования заставляет ограничиться регистрацией фрагментов с зарядами близкими к изучаемому ядру и, как развитие, одного или пары изотопов Не или Н. При этом пропускаются каналы с более высокой множественностью фрагментов Не и Н. Однако роль таких каналов является ключевой в силу того обстоятельства, что

фрагменты Не и Н являются продуктами распадов нестабильных изотопов  $^8Be$  и  $^9B$ . Идентификация релятивистских ядер  $^8Be$  и  $^9B$  возможна по вычислению инвариантной массы системы фрагментов, по углу разлета в них. Такой подход требует наилучшего пространственного и углового разрешения, что обеспечивается в релятивистском случае только методом ядерной фотоэмulsionии. Рекордное угловое разрешение (вплоть до 0.1 мрад) ядерной фотоэмulsionии также позволяет реконструировать релятивистские распады короткоживущих ядерных резонансов в предельно узкие струи фрагментов, в том числе распады ядер  $^{12}C$  из состояния Хойла.

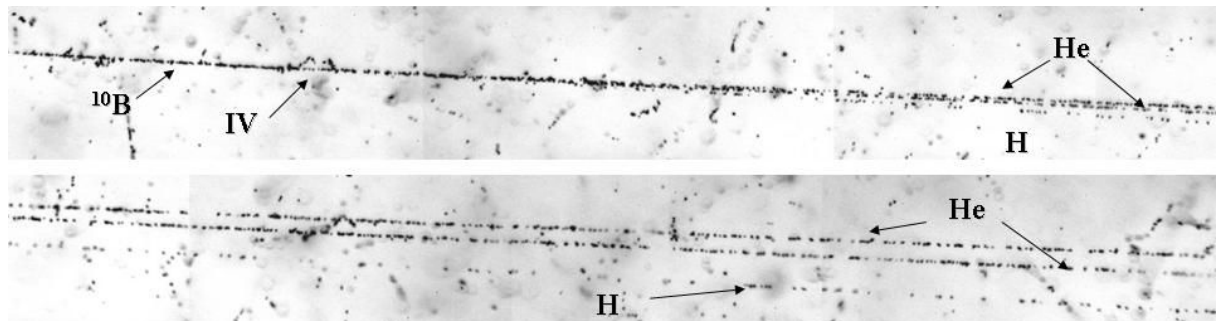


Рис. 1. Последовательные фотографии «белой» звезды события фрагментации  $^{10}B \rightarrow 2\text{He} + \text{H}$ . IV – положение вершины события. Идентифицированные методом многократного рассеяния изотопы Н и Не соответствуют протону ( $p$ ) и двум  $\alpha$ -частицам. Основные характеристики события:  $\Theta_{2\alpha} = 5.3$  мрад,  $Q_{2\alpha} = 87$  кэВ,  $\Theta_{2\alpha p} = 10$  мрад,  $Q_{2\alpha p} = 352$  кэВ. Увеличение изображения 45<sup>х</sup>.

### **Научная новизна и практическая значимость работы**

Новизна диссертационной работы заключается в получении новых экспериментальных данных по диссоциации релятивистских ядер  $^{10}B$  и  $^{11,12}C$ , что включает в себя получение распределения по вероятностям образования каналов диссоциации (зарядовая топология), измерение углов эмиссии треков фрагментов с высокой точностью. Анализ угловых распределений треков ядер Не и Н в каналах  $^{10}B \rightarrow 2\text{He} + \text{H}$  и  $^{11}C \rightarrow 2\text{He} + 2\text{H}$  позволил впервые оценить

вклад распадов нестабильных ядер  ${}^8Be$  и  ${}^9B$  в диссоциации изучаемых ядер. В диссоциации релятивистских ядер  ${}^{12}C$  впервые идентифицированы события с образованием ансамблей из троек альфа-частиц, отвечающих состоянию Хойла (второе возбужденное и первое несвязанное состояние ядра  ${}^{12}C$ ). Уникальность полученных результатов основана на рекордном пространственном, угловом и энергетическом разрешении ядерной фотоэмulsionии.

Проведенный в работе физический анализ стал возможным во многом благодаря возможности формирования, транспортировки и сепарации пучков стабильных и радиоактивных ядер на ускорительном комплексе нуклotron ОИЯИ. Результаты, полученные в исследовании диссоциации релятивистских ядер  ${}^{10}B$  и  ${}^{11,12}C$ , будут востребованы при планировании экспериментов с высокой статистикой событий и разнообразием детекторов на ядерных пучках нуклотрона ОИЯИ (и как развитие, на коллайдере NICA), ускорителя У-70 ИФВЭ, а также в зарубежных исследовательских центрах. Кластерная картина диссоциации релятивистских ядер важна в исследованиях физики космических лучей, физики промежуточных энергий. В частности, детальная информация о конечных кластерных состояниях ядер может быть полезна для интерпретации данных в экспериментах по кумулятивному рождению частиц, направленных на исследование кварк-партонных степеней свободы в легких ядрах. В астрофизическом аспекте, вероятности по конечным кластерным состояниям могут указать на возможно новые сценарии синтеза ядер, которые не были рассмотрены ранее. Фундаментальные представления о релятивистской фрагментации ядра  ${}^{11}C$  необходимы для применения интенсивных пучков этих ядер в ядерной медицине. Можно рассчитывать, что полученный опыт реконструкции распадов ядер  ${}^8Be$ ,  ${}^9B$  и  ${}^{12}C$  в состоянии Хойла, станут ориентирами для поиска методом ядерных фотоэмulsionий конденсатных

состояний с большим числом кластеров и нуклонов в диссоциации более тяжелых ядер в ультра узкие струи легчайших ядер.

В прикладном плане анализ облучения опытной образцов слоев ядерной эмульсии возобновленного производства (единственного производителя ядерной эмульсии в России ОАО «Компания Славич») позволил продемонстрировать её абсолютную идентичность старым образцам эмульсии типа БР-2. Сохранение всех физических и химических свойств вновь воссозданной ядерной эмульсии позволит сохранить и развить традицию применения методики ядерной эмульсии в высокопрецизионных экспериментах (SHiP, NICA), а также в прикладных задачах (например, эксперимент Беккерель).

### **Основные положения, выносимые на защиту:**

1. Впервые изучены особенности диссоциации релятивистских ядер  $^{10}B$  и  $^{11}C$  и установлено лидирование в этом процессе каналов  $2\text{He} + \text{H}$  и  $2\text{He} + 2\text{H}$ , соответственно.
2. Впервые идентифицирован и установлен вклад нестабильных ядер  $^8Be$  и  $^9B$  в диссоциацию релятивистских ядер  $^{10}B$  и  $^{11}C$ .
3. Впервые идентифицировано образование троек  $\alpha$ -частиц в состоянии Хойла и установлены особенности их образования в диссоциации релятивистских ядер  $^{12}C$ .

**Достоверность** полученных результатов основана на применении слоев ядерной фотоэмulsionии, обладающих рекордным пространственным и угловым разрешением, недоступным в настоящем для электронных методов детектирования. Точность восстановления углов испускания фрагментов обеспечена высокопрецизионным измерительным микроскопом KSM-1, разрешающая способность которого позволяет различать узко расходящиеся

треки с углом разлета не менее 0.1 мрад. Полученные в диссертации результаты сравниваются со статистической моделью релятивистской фрагментации ядер, а также с данными более ранних работ, выполненных в сотрудничестве эксперимента Беккерель на нуклotronе ОИЯИ.

**Личное участие** соискателя в получении результатов, изложенных в диссертации. Автором был лично организован процесс сканирования облученных слоев ядерной эмульсии, как в ручном режиме (с помощью поисковых микроскопов), так и с использованием полуавтоматических комплексов. Сканирование обеспечило большую для эмульсионного метода статистику из 4500 событий неупругого взаимодействия ядер  $^{10}B$  и  $^{11,12}C$  в ядерной эмульсии. Автором проведена адаптация измерительных и вычислительных процедур, необходимых для исследования релятивистской диссоциации изучаемых ядер.

## **Апробация работы**

Основные результаты диссертационной работы неоднократно представлялись на международных и российских конференциях, среди которых наиболее значимые: European Nuclear Physics Conference EuNPC 2018, (г. Болонья, Италия, 2018 г.); New Trends in High-Energy Physics (г. Будва, Черногория, 2016 г.); New Trends in High-Energy Physics (г. Будва, Черногория, 2016 г.); International Session-Conference of the Section of Nuclear Physics of PSD RAS (г. Нальчик, Россия, 2017 г.); LXVIII INTERNATIONAL CONFERENCE "NUCLEUS 2018" (г. Воронеж, Россия, 2018 г.); VIII International Symposium on EXOtic Nuclei 2016 (г. Казань, Россия, 2016 г.); XXIV International Baldin Seminar on High Energy Physics Problems 2018 (г. Дубна, Россия, 2018 г.); Международная Сессия-конференция Секции ядерной физики ОФН РАН, (г. Дубна, Россия, 2017 г.); X и XII Черенковские чтения (г. Москва, Россия, 2016 и 2018 гг.).

По материалам диссертационной работы были опубликованы 11 статей в российских и зарубежных журналах, индексируемых по базе Scopus (56799871300) и Web of Science (E-1282-2016), в том числе из рекомендованного списка ВАК (см. приложение Список опубликованных работ).

## **Структура и объем работы**

Диссертация состоит из введения, трех глав, заключения, приложения и списка литературы, содержащего 58 наименований. Работа изложена на 100 страницах машинописного текста, включающих 49 рисунков, 15 таблиц и 10 микрофотографий примеров событий ядер в ядерной фотоэмulsionии.

## **Основное содержание работы**

Во **Введении** формулируется цель и задача излагаемой работы (В.1). Обосновывается актуальность исследования (В.2) с привлечением данных по ранее изученным ядрам. Приводятся известные структурные свойства изучаемых ядер и их взаимосвязь с ближайшими ядрами Be, B и C. Описывается методика эксперимента (В.3) с подробным описанием основных способов сканирования ядерной эмульсии, измерения зарядов и углов испускания заряженных фрагментов, процедура изотопной идентификации ядер. Излагается суть статистической модели фрагментации ядер, в рамках которой проводится анализ угловых и импульсных распределений (В.4).

**Первая глава** посвящена анализу облучения ядерной эмульсии в пучке релятивистских ядер  $^{10}B$  (1.6 A ГэВ/c). Облучение стопки ЯЭ было выполнено на одном из первых сеансов работы ускорительного комплекса нуклotron ОИЯИ на выведенном пучке в 2002 году (§ I.1.). Пучок формировался в канале по магнитной жесткости  $Z/A = \frac{1}{2}$ . Вклад ядер  $^{10}B$  составил около 67%,  $\alpha$ -частиц – 27% и дейtronов – 6%. Отсутствие примесей других ядер позволил провести процесс сканирование ЯЭ в более комфортных условиях. Сканирование

проявленных слоев ЯЭ (§ I.2.) проводилось методом просмотра «по следу» с помощью микроскопа МБИ-9. Суть метода заключается в последовательном прослеживании входящих треков в слой ЯЭ до вершины взаимодействия, что позволяет регистрировать все типы событий без дискриминации. На суммарной длине просмотра 242 метра было найдено 1664 неупругих взаимодействий  $^{10}B$  с ядрами в ЯЭ. Таким образом, величина среднего пробега для ядер  $^{10}B$  в ядерной эмульсии составила  $\lambda = (14.5 \pm 0.5)$  см. Полученное значение согласуется с зависимостью величины среднего свободного пробега от атомного номера ядра-снаряда для легких ядер, имеющих однородную нуклонную плотность, и имеет хорошее соответствие с расчётной величиной ( $\lambda = 14.2$  см).

При сканировании 10 слоев ядерной эмульсии было получено распределение каналов по вероятностям образования вторичных фрагментов при диссоциации ядер  $^{10}B$  (Таблица 1). Для сравнения статистика представлена событиями типа «белая» звезда и событиями с образованием фрагментов мишени. Отличительной особенностью событий типа «белая» звезда является отсутствие в вершине взаимодействия следов фрагментов ядра-мишени и рожденных заряженных мезонов (см. Рисунок 1). В подавляющем большинстве случаев события типа «белая» звезда интерпретированы как взаимодействие налетающего ядра с тяжелой компонентой (группа ядер AgBr) из состава ЯЭ. Распределение каналов диссоциации представлено в трех группах событий, отличающихся суммарным зарядом фрагментов в конусе фрагментации, ограниченным углом  $9^\circ$ . В каналах, с суммарным зарядом фрагментов равным первичному заряду ядра  $^{10}B$ , установлено доминирование событий, содержащих только фрагменты ядер He и H (90%). Отмечено преобладание канала  $2He + H$ , вероятность наблюдение которого составляет 76%. Наличие каналов с большой множественностью фрагментов He и H может указывать на диссоциацию одного или нескольких кластеров в ядре  $^{10}B$ , в том числе распад нестабильных ядер  $^8Be$  и  $^9B$ . Присутствие таких событий, как и  $Li + 2H$  (4%), может быть

обусловлено диссоциацией ядра-основы  $^7Be$ . Каналы  $^{10}B \rightarrow Li +$  фрагменты наблюдаются с вероятностью на уровне 8%. Такие события можно рассматривать как корреляцию  $\alpha$ -частичного и дейтронного кластеров. В канале  $^{10}B \rightarrow Be + H$  (1%) фрагмент Be отождествлен изотопу  $^9Be$ , поскольку отсутствует стабильное ядро  $^8Be$ . Установлено, что наряду с каналами с суммарным зарядом фрагментов в конусе фрагментации равным 5 наблюдаются каналы с суммарным зарядом 4 и 6. Такие события могут указывать на наличие каналов перезарядки  $B \rightarrow C$  (12%) и  $B \rightarrow Be$  (6%). Было отмечено, что каналы перезарядки  $B \rightarrow C$  находятся в соотношении, установленном ранее при исследовании диссоциации релятивистского ядра  $^{10}C$ .

Таблица 1. Распределение каналов диссоциации релятивистских ядер  $^{10}B$  при энергии 1 A ГэВ в ядерной фотоэмulsionии.

$\Sigma Z_{fr}$	Канал	С фрагментами мишени	«Белые» звезды
6	$2He + 2H$	35 (65%)	18 (90%)
	$He + 4H$	19 (35%)	2 (10%)
5	$Li + He$	21 (5%)	5 (4%)
	$Li + 2H$	32 (8%)	5 (4%)
	$He + 3H$	120 (32%)	18 (13%)
	$2He + H$	182 (48%)	103 (76%)
	$5H$	24 (6%)	2 (1%)
	$Be + H$	1(< 1%)	2 (1%)
4	$2He$	89 (100%)	10 (100%)

Механизм образования канала  $^{10}B \rightarrow 2He + H$  был исследован на основании углового анализа вылета вторичных заряженных фрагментов Не и H (§ I.3). Достоверность полученных результатов основывается на точности

измерений угла погружения и планарного угла вылета вторичного фрагмента относительно родительского трека (Рисунок 2). Для выполнения процедуры измерения углов (§ I.4) эмиссии фрагментов были отобраны 318 событий  $^{10}B \rightarrow 2\text{He} + \text{H}$ , имеющие для измерений благоприятные геометрические условия. Одночастичные распределения поперечных импульсов для фрагментов He и H описываются параметрами  $\sigma_{\text{Pt(H)}} = (61 \pm 3) \text{ МэВ/с}$  для  $\alpha$ -частиц  $\sigma_{\text{Pt(He)}} = (140 \pm 4) \text{ МэВ/с}$ . Для двухзарядного фрагмента параметр распределения имеет хорошее согласование с параметром, извлеченным в рамках статистической модели для  $\alpha$ -частиц  $\sigma_{\text{Pt}(\alpha)} = 136 \text{ МэВ/с}$ . В случае однозарядного фрагмента есть расхождение, которое объясняется наличием вклада в канал  $^{10}B \rightarrow 2\text{He} + \text{H}$  дейtronной компоненты.

В распределении по величине относительного пространственного угла  $\Theta$  в парах  $\alpha$ -частиц наблюдаются узкие струи треки фрагментов в области  $\Theta_{2\alpha} < 10.5$  мрад (вставка, Рисунок 3а). Статистика таких событий в канале  $^{10}B \rightarrow 2\text{He} + \text{H}$  составила  $(24 \pm 3) \%$  от числа событий типа «белая» звезда и  $(20 \pm 4) \%$  в событиях с образованием фрагментов ядра-мишени. В распределении по величине пространственного угла между направлением вылета узкой парой  $\alpha$ -частиц ( $\Theta_{2\alpha} < 10.5$  мрад) и однозарядного фрагмента (вставка, Рисунок 4а) выделяется группа событий с предельно малыми углами разлета ( $\Theta_{2\alpha^*\text{H}} < 25$  мрад), с вероятностью  $(12 \pm 2) \%$  от статистики «белых» зезд и  $(8 \pm 2) \%$  в событиях с образованием фрагментов ядра-мишени. Отмеченная особенность в распределении по относительному пространственному углу  $\Theta_{2\alpha^*\text{H}}$  и  $\Theta_{2\alpha}$  была установлена ранее при изучении диссоциации релятивистского ядра  $^{10}\text{C}$ .

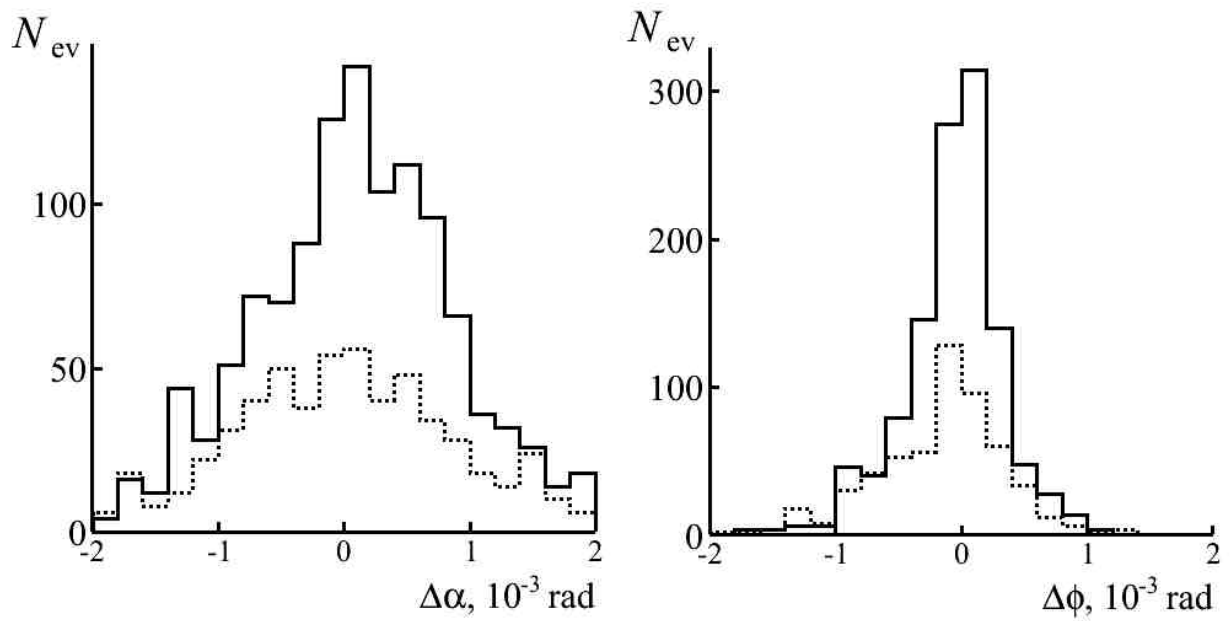


Рис. 2 Ошибки в определении угла погружения (а) и планарного угла ( $\phi$ ) для треков фрагментов Не (сплошная) и Н (точечная) в событиях  $^{10}B \rightarrow 2\text{He} + \text{H}$ .  $\langle \Delta\alpha \rangle = 0.08 \pm 0.02$  (0.78) мрад и  $\langle \Delta\phi \rangle = 0.06 \pm 0.01$  (0.39) мрад.

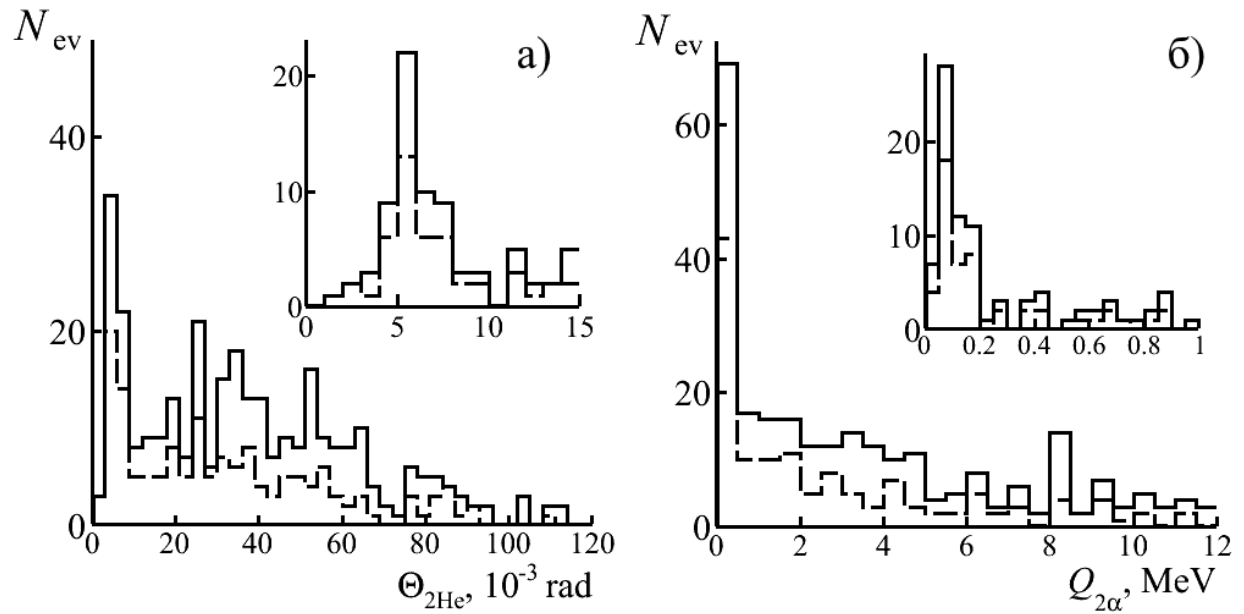


Рис 3. Распределение событий по пространственному углу  $\Theta$  между двумя фрагментами Не (а) и по энергии возбуждения  $Q_{2\alpha}$  пар  $\alpha$ -частиц (б) в событиях  $^{10}B \rightarrow 2\text{He} + \text{H}$ . Сплошная линия – вся статистика, пунктир – «белые» звезды.

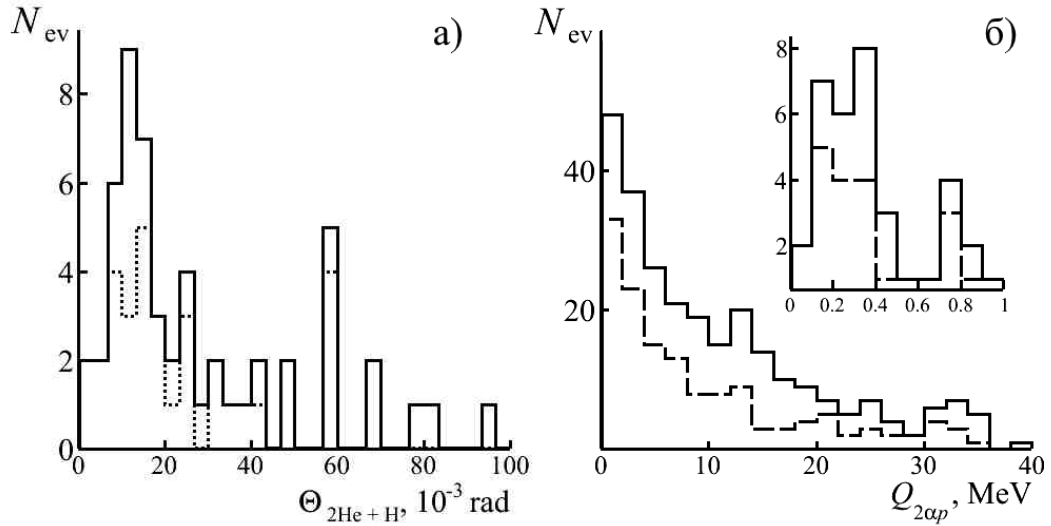


Рис 4. Распределение событий по пространственному углу  $\Theta$  между направлением узкой  $\alpha$ -парой ( $\Theta_{2\alpha} < 10.5$  мрад) и фрагментом Н (а) и по энергии возбуждения  $Q_{2\alpha p}$  троек  $2\alpha p$  (б) в событиях  $^{10}B \rightarrow 2He + H$ . Сплошная линия для всей статистики, пунктир – «белые» звезды.

Механизм образования узких струй фрагментов (§ I.5) отражен в распределении по переменной эффективной инвариантной массе фрагментирующих частиц. Эффективная инвариантная масса релятивистских фрагментов  $Q$  определяется как разница между инвариантной массой фрагментирующей системы  $M^*$  и суммарной массой фрагментов  $\Sigma M_i$ , т. е.  $Q = M^* - \Sigma M_i$ .  $M^*$  определяется как сумма всех произведений 4-импульсов  $P_{i,k}$  фрагментов  $M^{*2} = (\sum P_j)^2 = \sum (P_i \cdot P_k)$ . 4-импульсы  $P_{i,k}$  определяются в приближении сохранения фрагментами начального импульса на нуклон. В распределении по переменной  $Q_{2\alpha}$  62 (включая 39 в «белых» звездах) пары  $\alpha$ -частиц расположены в области  $Q_{2\alpha} < 200$  кэВ (вставка, Рисунок 3б). Среднее значение величины  $Q_{2\alpha}$  в этой области характерно для энергии распада нестабильного ядра  $^8Be$  из основного состояния  $0^+$  ( $Q_{Be \rightarrow 2\alpha} = 92$  кэВ). Доля событий с образованием ядер  $^8Be$  составила  $(24 \pm 3)\%$  для событий типа «белая» звезда. Часть событий с образованием ядра  $^8Be$  могут быть обусловлены

распадами нестабильного ядра  ${}^9B$ . Анализ распределения по эффективной инвариантной массе  $Q$  в тройках  $2\alpha + p$  указал на группу событий, ограниченных величиной  $Q < 400$  кэВ. Величина среднего значения  $Q_{2\alpha p}$ , в указанной области событий, характерна для энергии распада ядра  ${}^9B$  из основного состояния ( $Q_{B \rightarrow Be + p} = 185$  кэВ) (вставка, Рисунок 4б). Вклад таких событий в канал  ${}^{10}B \rightarrow 2\text{He} + \text{H}$  оценен на уровне  $(12 \pm 2)\%$ . Таким образом, установлено, что в канале диссоциации  ${}^{10}B \rightarrow 2\text{He} + \text{H}$  распад ядра  ${}^8Be_{g.s.}$  проявляется только в 50% событий образования ядер  ${}^9B$ . Отмечено, что для ядер  ${}^{10}C$  такое соответствие было полным. Вклад распадов ядер  ${}^8Be$  из второго возбужденного состояния  $2^+$  определен по каналу с образованием дейtronного фрагмента  ${}^8Be_{2+} + d$ . Анализ многократного рассеяния (§ I.6) позволил определить соотношение протонной и дейtronной компоненты на уровне  $(2 \pm 0.25)$ . Неожиданным представился тот факт, что число «белых» звезд  ${}^9B + n$  в 6 раз превысило  ${}^9Be + p$ . Это наблюдение может указывать на более широкое пространственное распределение нейтронов в ядре  ${}^{10}B$  по сравнению с протонами, что приводит большему сечению канала  ${}^9B + n$  по сравнению с зеркальным каналом. В целом детальное понимание диссоциации ядра  ${}^{10}B$  послужило основой для интерпретации данных для следующего изотопа –  ${}^{11}C$ .

Во второй главе описывается исследование диссоциации релятивистского ядра  ${}^{11}C$ . Облучение новых образцов ядерной эмульсии проводилось (§ II.1) на выводном канале нуклotronа в пучке релятивистских ядер  ${}^{11}C$  с импульсом  $2 A$  ГэВ/с. Ядра  ${}^{11}C$  рождались при фрагментации ядер  ${}^{12}C$  с энергией  $1.2 A$  ГэВ на полиэтиленовой мишени. Вторичный пучок ядер был形成的 путем сепарации в магнитооптическом канале транспортировки пучка с жесткостью  $Z/A = 6/11$  и импульсным акцептантом около 2%. Основной вклад во вторичный пучок дали ядра  ${}^{11}C$  и несущественная примесь ядер  $B$ ,  $Be$ ,  $Li$  и  $He$ .

Поиск событий в проявленных слоях ЯЭ проводился методом просмотра «по полоскам». При сканировании 10 облученных слоев ЯЭ было найдено 2301 неупругое взаимодействие  $^{11}C$  с ядрами из состава ЯЭ (Рисунок 5). Для анализа были отобраны (§ II.2) только те события, в которых треки фрагментов ядра-снаряда сосредоточены в узком фрагментационном конусе  $6^\circ$ , а суммарный заряд фрагментов равен 6. Таким образом, была получена информация о вероятностях образования каналов диссоциации ядер  $^{11}C$  в ядерной эмульсии (Таблица 2). Показано, что, как и в случае диссоциации ядра  $^{10}B$  наблюдаются каналы с преобладанием вторичных фрагментов  $He$  и  $H$  в конусе фрагментации. Отмеченный эффект послужил основанием для последующего анализа с целью установления событий распадов ядер  $^8Be$  и  $^9B$  в эти каналы. Канал  $^3He$  вероятно соответствует конфигурации  $2^4He + ^3He$ , которая может возникать как от распада ядер-остовов  $^8Be$  и  $^7Be$ , так и трехтельных состояний. Дополнительный вклад во множественные каналы, содержащие фрагменты  $He$  и  $H$ , может быть связан с диссоциацией кластера  $^6Li$ , как самостоятельного элемента  $^{11}C$ , в соответствии с его виртуальной структурой  $\alpha + d$ . Отмечено появление канала диссоциации  $Li + He + H$ . Сравнение с зарядовыми топологиями каналов диссоциации соседних изотопов углерода указало на индивидуальный характер диссоциации для ядер  $^{11}C$ . В целом картина диссоциации ядра  $^{11}C$  отражает вклад в ее структуру ядер-основ  $^{10}B$  и  $^7Be$ .

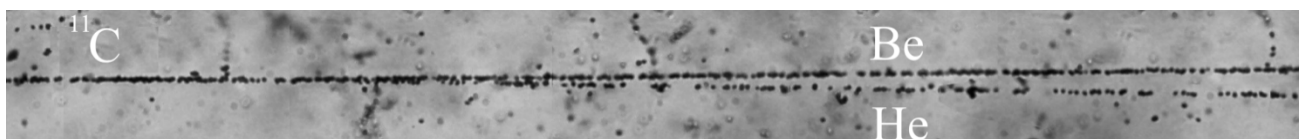


Рис. 5. Пример события диссоциации релятивистского ядра  $^{11}C$  по каналу  $^{11}C \rightarrow Be + He$ . Вторичный фрагмент  $Be$  соответствует ядру  $^7Be$ , а фрагмент  $He$  –  $\alpha$ -частице. Увеличение изображения  $45^x$ .

Таблица 2. Распределение по каналам диссоциации релятивистских ядер  $^{11}C$  с энергией 2 ГэВ в ядерной фотоэмulsionии.

Канал	События «белая» звезда	События с фрагментами мишени
6H	3 (2%)	10 (4%)
B + H	6 (4%)	7 (3%)
He + 4H	15 (10%)	44 (17%)
Li + He + H	5 (4%)	17 (6%)
Be + He	18 (12%)	26 (10%)
2He + 2H	72 (50%)	140 (53%)
3He	25 (17%)	19 (7%)

Прецизионные измерения углов вылета фрагментов ядер He и H (§ II.3) в событиях  $^{11}C \rightarrow 2He + 2H$  и  $^{11}C \rightarrow 3He$  обеспечены статистикой из 154 событий, обладающих благоприятными геометрическими условиями. В распределениях по относительному пространственному углу между двумя  $\alpha$ -частицами (вставка, Рисунок 6а) отмечены события, ограниченные углом  $\Theta_{2\alpha} < 8$  мрад. В распределении по углу между узкой парой  $\alpha$ -частиц и однозарядной частицей (Рисунок 7а) выражена область до 20 мрад с наиболее узкими струями фрагментов. Распределения по эффективной инвариантной массе (§ II.3) системы двух  $\alpha$ -частиц (вставка, Рисунок 6б) в событиях  $^{11}C \rightarrow 2He + 2H$  указывают на распад  $^8Be$  из основного состояния в  $(20 \pm 3)\%$  событий с образованием фрагментов мишени и в  $(24 \pm 2)\%$  в «белых» звездах. В канале  $^{11}C \rightarrow 3He$  образование  $\alpha$ -пар в распадах ядра  $^8Be$  наблюдаются с вероятностью  $(25 \pm 2)\%$ .

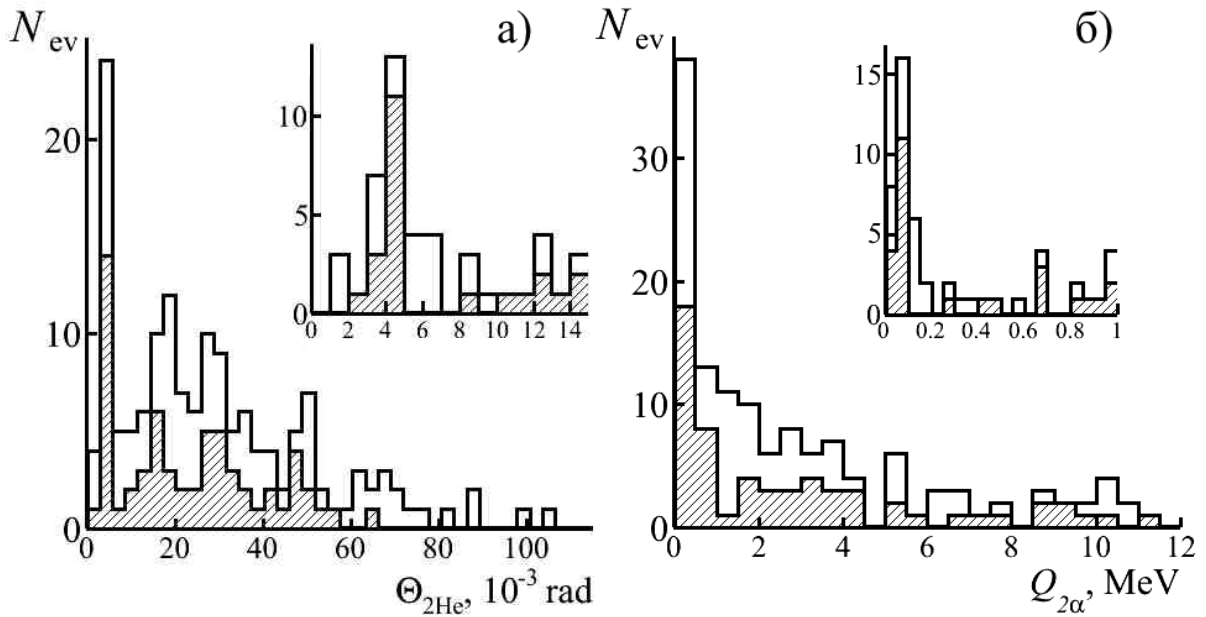


Рис. 6. Распределение событий по пространственному углу  $\Theta$  между двумя фрагментами He (а) и по энергии возбуждения  $Q_{2\alpha}$  пар  $\alpha$ -частиц (б) в событиях  $^{12}C \rightarrow 2\text{He} + 2\text{H}$ . Сплошная линия – вся статистика, пунктир – события типа «белая» звезда.

Идентифицированы распады нестабильного ядра  $^9B$  из основного состояния (вставка, Рисунок 7б) в  $(13 \pm 1)\%$  «белых» звезд  $^{11}C \rightarrow 2\text{He} + 2\text{H}$ . Таким образом, во фрагментации ядер  $^{11}C$  в 66% распадов  $^8Be$  возникают из распадов  $^9B$ . В случае ядра  $^{10}B$  50% событий с образованием ядер  $^8Be$  проходит через распад  $^9B$ , а для  $^{10}C$  такое соответствие было полным. Был сделан вывод, что ядро  $^9B$  может существовать в  $^{11}C$  как самостоятельный виртуальный компонент или как составная часть виртуальной основы  $^{10}B$ .

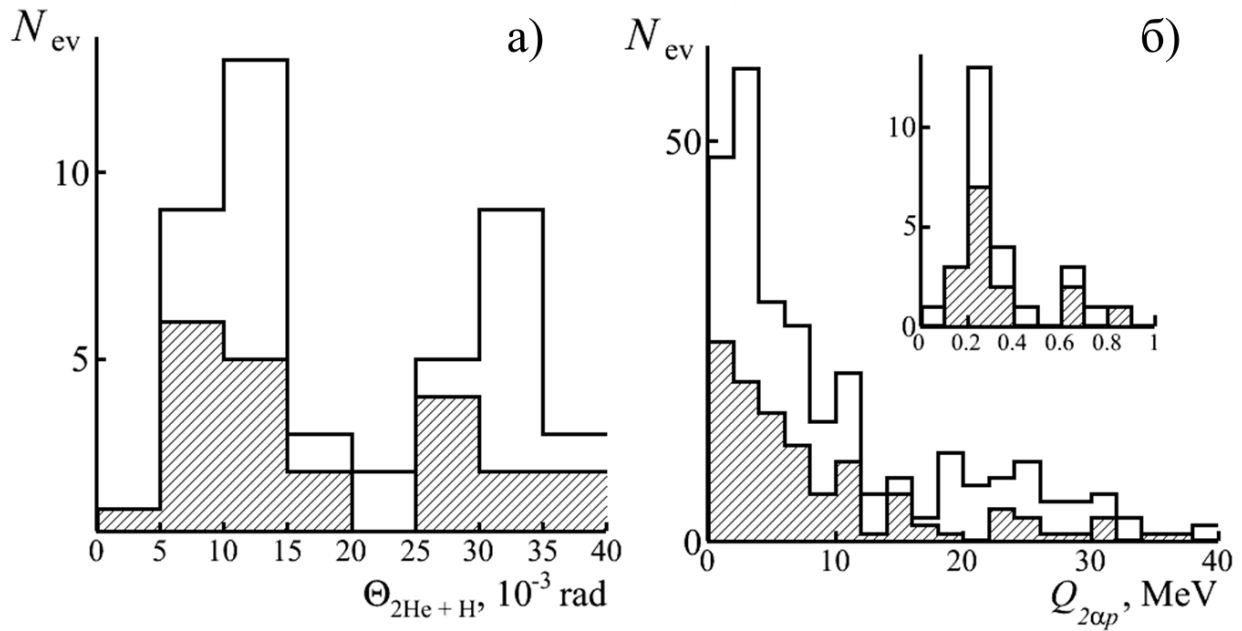


Рис. 7. Распределение событий по пространственному углу  $\Theta$  между направлением узкой  $\alpha$ -парой ( $\Theta_{2\alpha} < 10.5$  мрад) и фрагментом Н (а) и по энергии возбуждения  $Q_{2\alpha p}$  троек  $2\alpha p$  (б) в событиях  $^{11}C \rightarrow 2\text{He} + 2\text{H}$ . Сплошная линия для всей статистики, пунктир – события типа «белая» звезда.

**В третьей главе** представлен анализ событий диссоциации релятивистских ядер  $^{12}C$ . Материалом исследования послужили слои ядерной эмульсии толщиной 200 мкм на стекле, облученные продольно в медико-биологическом пучке ядер  $^{12}C$  (1 A ГэВ/c) бустера ускорительной установки У-70 (ИФВЭ, г. Протвино) (§ III.1). С целью выявить эффект состояния Хойла (СХ), анализ был сконцентрирован на событиях с образованием троек  $\alpha$ -частиц в диссоциации релятивистского ядра  $^{12}C$  (Рисунок 8). Процедура угловых измерений основана на статистике 86 событий  $^{12}C \rightarrow 3\alpha$ , включая 36 «белых» звезд. Имеющаяся статистика была дополнена угловыми измерениями для 186 событий  $^{12}C \rightarrow 3\alpha$  из раннего облучения слоев ЯЭ, выполненного в 90-е годы на синхрофазotronе ОИЯИ при импульсе 4.5 A ГэВ/c. Таким образом охват по энергии от сотен МэВ до нескольких ГэВ на нуклон позволил проверить универсальность идентификации СХ в переменной  $Q_{3\alpha}$ .

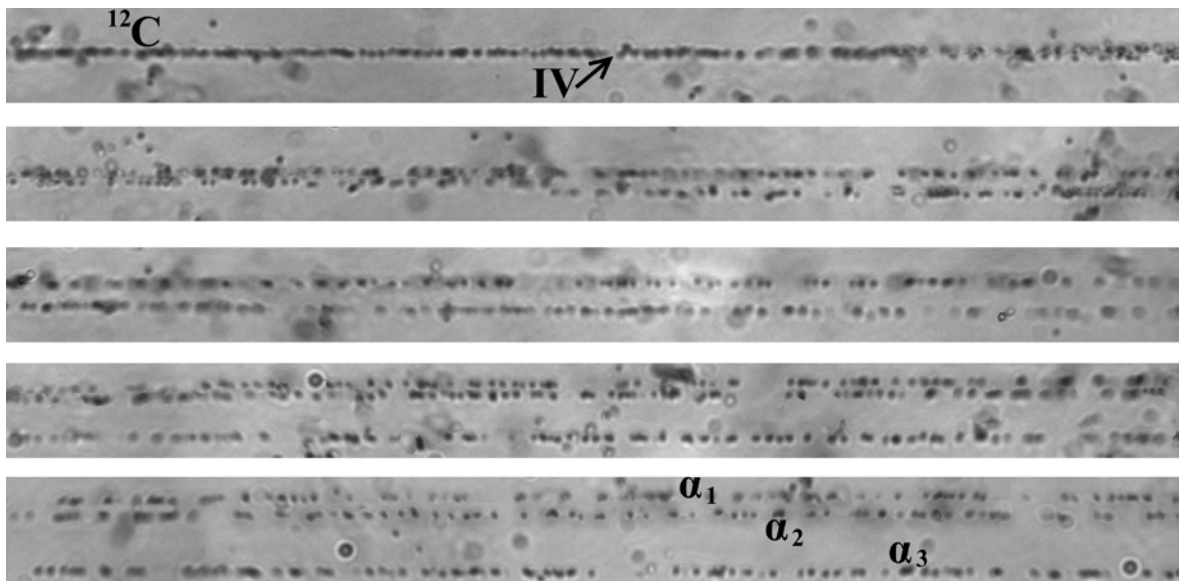


Рис. 8. Последовательная фотография события  $^{12}C \rightarrow 3\alpha$  ( $P_0 = 1 A \text{ ГэВ}/c$ ), IV – положение вершины взаимодействия. Основные характеристики события:  $\theta_{\alpha_1\alpha_2} = 8 \text{ мрад}$ ,  $\theta_{\alpha_1\alpha_3} = 15 \text{ мрад}$ ,  $\theta_{\alpha_2\alpha_3} = 8 \text{ мрад}$ ,  $Q_{\alpha_1\alpha_2} = 57 \text{ кэВ}$ ,  $Q_{\alpha_1\alpha_3} = 227 \text{ кэВ}$ ,  $Q_{\alpha_2\alpha_3} = 61 \text{ кэВ}$ ,  $Q_{3\alpha} = 230 \text{ кэВ}$ . Характерный размер зерна 0.5 мкм.

Угловой анализ (§ III.2) испускания  $\alpha$ -частиц указал на возможный вклад  $(20 \pm 2) \%$  распада ядер  $^8Be$  ( $0^+$ ) во фрагментацию ядер  $^{12}C$ . Однако было замечено, что распределение по переменной эффективной инвариантной массы пар  $\alpha$ -частиц (вставка, Рисунок 9а) становится более широким (вплоть до 500 кэВ). Такое изменение вызвано возросшим вкладом нерезонансных  $\alpha$ -пар. В связи с этим, оценить вклад прямого и последовательно каналов образования СХ на имеющейся статистике не представляется возможным.

Полученный опыт реконструкции ядер  $^8Be$  и  $^9B$  был применен для поиска релятивистских распадов состояния Хойла. Впервые с помощью методики ядерной эмульсии идентифицированы события в состоянии Хойла (§ III.3) в диссоциации релятивистского ядра  $^{12}C$  на З $\alpha$ -частицы с импульсом 1 и  $4.5 A \text{ ГэВ}/c$ . Важной особенностью идентификации СХ, как и в случае идентификации распадов ядер  $^8Be$ , является то, что уровень СХ по энергии также достаточно отделено от ближайших порогов возбуждений ядра  $^{12}C$ . В

связи с этим подходом, использованный при идентификации ядер  ${}^8Be$  и  ${}^9B$  в диссоциации ядер  ${}^{10}B$  и  ${}^{11}C$ , был применен и к идентификации СХ по эффективной инвариантной массе а-троек  $Q_{3\alpha}$ . В распределении по эффективной инвариантной массе а-троек  $Q_{3\alpha}$ , представленном на Рисунке 9(б) выражен пик в области  $Q_{3\alpha} < 1$  МэВ, где и должны отражаться распады СХ. Для событий при  $4.5 \text{ A ГэВ}/c$  среднее значение для событий в пике  $\langle Q_{3\alpha} \rangle$  (RMS) равно  $441 \pm 34$  (190) кэВ, а при  $1 \text{ A ГэВ}/c$  соответственно  $346 \pm 28$  (85) кэВ. Согласно “мягкому” условию  $Q_{3\alpha} < 1$  МэВ в облучении  $4.5 \text{ A ГэВ}/c$  30 (из 186) событий могут быть отнесены к СХ, а при  $1 \text{ A ГэВ}/c$  – 9 (из 86), включая 5 “белых” звезд (из 36). В обоих облучениях установлен вклад СХ на уровне ( $11 \pm 3$ )% от общей статистики. Установлено, что события с состоянием Хойла образуются с поперечным импульсом  $P_{T\text{sum}}$  (Рисунок 10), характерным для ядерно-дифракционного механизма реакции. Аналогичные события наблюдались и в случаях  ${}^9Be \rightarrow {}^8Be$  и  ${}^{10}C \rightarrow {}^9B$ . Возможно, что СХ не сводиться к только возбуждению  ${}^{12}C$ , а может проявляться как универсальный объект во фрагментации более тяжелых ядер, аналогично  ${}^8Be$  и  ${}^9B$ .

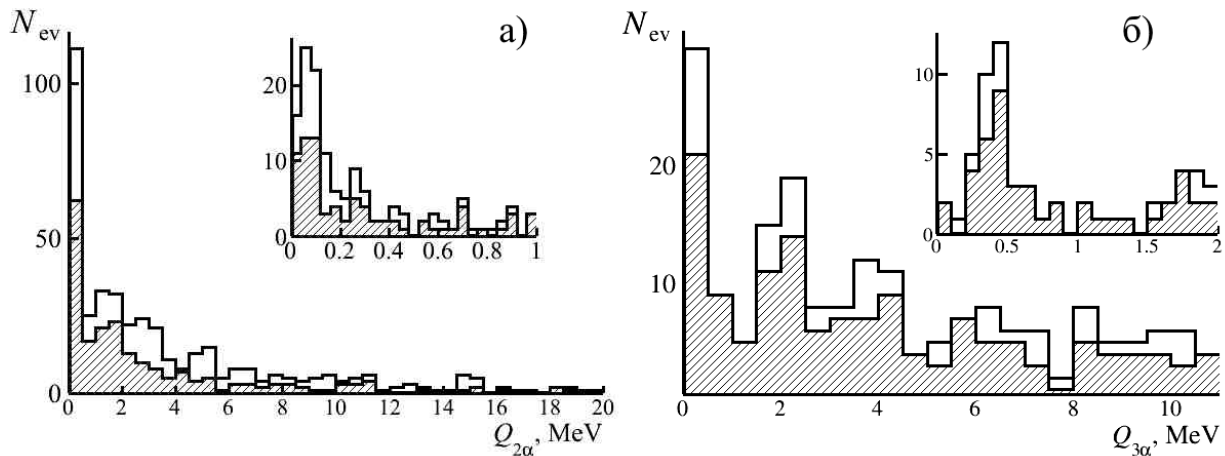


Рис. 9. Распределение по эффективной инвариантной массе а-пар  $Q_{2\alpha}$  (а) и по энергии возбуждения а-троек  $Q_{3\alpha}$  (б) в диссоциации  ${}^{12}C \rightarrow 3\alpha$  при импульсе  $4.5 \text{ A ГэВ}/c$  (заштриховано) и  $1 \text{ A ГэВ}/c$  (добавлено).

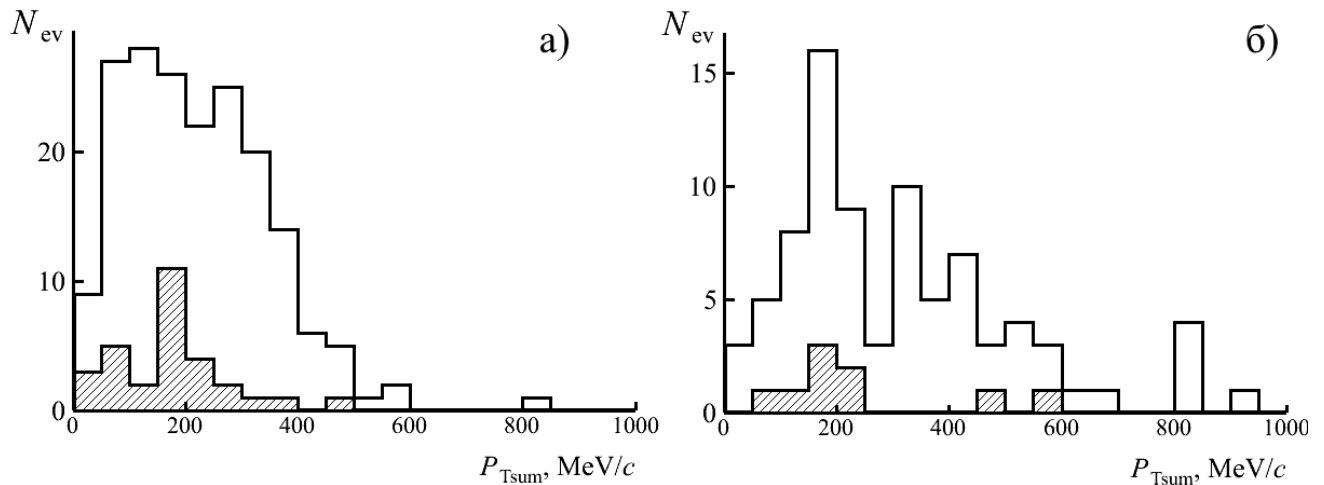


Рис. 10. Распределение по полному поперечному импульсу  $P_{T\text{sum}}$  троек  $\alpha$ -частиц в событиях диссоциации ядер  $^{12}\text{C}$  при импульсе 4.5 А ГэВ/с (а) и 1 А ГэВ/с (б); события  $Q_{3\alpha} < 1$  МэВ отмечены штриховкой.

В заключении сформулированы основные результаты диссертационной работы, которые состоят в следующем:

1. Получен экспериментальный материал по взаимодействиям релятивистских ядер  $^{10}\text{B}$  на ядрах в слоях ЯЭ. На суммарной длине 241 метр найдено 1664 неупругих событий, в том числе 163 события периферической диссоциации. Исследовано распределение каналов по вероятностям образования комбинаций заряженных фрагментов в диссоциации релятивистских ядер  $^{10}\text{B}$ . Установлено доминирование каналов, содержащих только треки ядер Не и Н (90%), при лидировании канала  $^{10}\text{B} \rightarrow 2\text{He} + \text{H}$  с вероятностью 76%. Обнаружены события перезарядки  $\text{B} \rightarrow \text{C}$  и  $\text{B} \rightarrow \text{Be}$ . Материалом для исследования явились слои ядерной эмульсии типа БР-2, облученные в первичном пучке ядер  $^{10}\text{B}$  на установке нуклotron ОИЯИ.

2. Установлено, что в  $(24 \pm 3)\%$  событий в канале источником образования пары  $\alpha$ -частиц является нестабильное ядро  $^{8}\text{Be}$  в основном состоянии. Определен вклад распада ядра  $^{9}\text{B}$  из основного состояния  $3/2^-$  в

канале  $^{10}B \rightarrow 2\text{He} + \text{H}$  на уровне  $(12 \pm 2) \%$ . Идентификация дейtronов в событиях  $^{10}B \rightarrow 2\text{He} + \text{H}$  свидетельствует о присутствии распадов ядер  $^8Be$  из первого возбужденного состояния  $2^+$ .

3. Получена зарядовая топология каналов диссоциации релятивистских ядер  $^{11}C$  с импульсом  $2 A \text{ ГэВ/с}$ . Установлено, что события с образованием пар фрагментов He и H доминируют в топологии с вероятностью наблюдения 53%. Отмечено появление характерного для ядра  $^{11}C$  канала диссоциации  $\text{Li} + \text{He} + \text{H}$ . Материалом для исследования послужили новые образцы слоев ЯЭ, облученные во вторичном пучке ядер  $^{11}C$  на нуклонроне ОИЯИ.

4. В распределении по эффективной инвариантной массе системы из  $2\alpha$ -частиц установлен вклад ядер  $^8Be_{gs}$  на уровне  $(20 \pm 3) \%$  в событиях  $^{11}C \rightarrow 2\text{He} + 2\text{H}$  и в  $(25 \pm 2) \%$  событий в канале  $^{11}C \rightarrow 3\text{He}$ . В распределении по параметру эффективной инвариантной массы троек  $2\alpha$  выявлены  $(13 \pm 1) \%$  событий с распадами ядер  $^9B$  из основного состояния.

5. Проведено исследование событий диссоциации релятивистских ядер  $^{12}C \rightarrow 3\alpha$  с импульсом  $1 A \text{ ГэВ/с}$  (бустер У-70, ИФВЭ) и  $4.5 A \text{ ГэВ/с}$  (синхрофазotron, ОИЯИ). Анализ угловых распределений указал на образование пар  $\alpha$ -частиц из распада  $^8Be_{gs}$  в  $(20 \pm 2) \%$  событий. В распределении по инвариантной массе  $\alpha$ -троек идентифицированы распады релятивистских ядер  $^{12}C$  из состояния Хойла на 3  $\alpha$ -частицы. Установлено, что события в состоянии Хойла наблюдаются с вероятностью  $(11 \pm 3) \%$  в двух облучениях. На основе измерений полных поперечных импульсов установлен ядерно-дифракционный механизм образования состояния Хойла в событиях  $^{12}C \rightarrow 3\alpha$ .

В целом результат проведенного экспериментального исследования состоит в следующем: представления о существенной роли нестабильных ядер  $^8Be$  и  $^9B$  в ядерной структуре, ранее установленные для ядра  $^{10}C$ , были

распространены на ядра  $^{10}B$  и  $^{11}C$ . Накопленный опыт реконструкции распадов нестабильных ядер  $^8Be$  и  $^9B$  в релятивистской диссоциации легких ядер, позволил идентифицировать релятивистские распады ядер  $^{12}C$  в состоянии Хойла с помощью ядерной фотоэмulsionии. Идентификация таких событий в электронных экспериментах пока не доступна, что делает результаты проведенного исследования, в данной области, уникальными.

## **Список опубликованных работ по теме диссертации**

1. Zaitsev A. A. et al. Dissociation of relativistic  $^{10}\text{B}$  nuclei in nuclear track emulsion // Physics of Particles and Nuclei, – 2017. – V.**48**. – №6. – pp. 960-963; Зайцев А.А. и др. Диссоциация релятивистских ядер  $^{10}\text{B}$  в ядерной эмульсии // Физика элементарных частиц и атомного ядра. – 2017. – Т.**48** – №6. – С. 919-924.
2. Artemenkov D. A. ... Zaitsev A. A. et al. Recent Findings in Relativistic Dissociation of  $^{10}\text{B}$  and  $^{12}\text{C}$  Nuclei // Few-Body Systems, – 2017 – V.**58**. – №2. – pp. 89-92.
3. Artemenkov D. A. ... Zaitsev A. A. et al. Charge topology of the coherent dissociation of relativistic  $^{11}\text{C}$  and  $^{12}\text{N}$  nuclei // Physics of Atomic Nuclei, – 2015. – V.**78**. – №6. – pp. 794-799; Артеменков Д. А., Зайцев А.А. и др. Зарядовая топология когерентной диссоциации релятивистских ядер  $^{11}\text{C}$  и  $^{12}\text{N}$  // Ядерная физика, – 2015. – Т.**78**. – №9. – С. 845-850.
4. Artemenkov D. A. ... Zaitsev A. A. et al. Study of the Involvement of  $^8\text{Be}$  and  $^9\text{B}$  Nuclei in the Dissociation of Relativistic  $^{10}\text{C}$ ,  $^{10}\text{B}$ , and  $^{12}\text{C}$  // Phys. Atom. Nuclei, – 2017. – V.**80**. – №6. – pp. 1126-1132; Артеменков Д. А., Зайцев А.А. и др. Исследование диссоциации релятивистских ядер  $^{10}\text{C}$ ,  $^{10}\text{B}$  и  $^{12}\text{C}$ , сопровождаемой ядрами  $^8\text{Be}$  и  $^9\text{B}$  // Ядерная физика, – 2017. – Т.**80**. – №6. – С. 645-651.
5. Artemenkov D. A., Zaitsev A. A., Zarubin P. I. Search for the Hoyle State in Dissociation of Relativistic  $^{12}\text{C}$  Nuclei // Physics of Particles and Nuclei, – 2018. – V.**49**. – №4. – pp. 530-539; Артеменков Д.А., Зайцев А.А., Зарубин П.И. Поиск состояния Хойла в диссоциации релятивистских ядер  $^{12}\text{C}$  // Физика элементарных частиц и атомного ядра. – 2018. – Т.**49**. – №4. – С. 929-945.

6. Zaitsev A. A., Zarubin P. I. Application of Nuclear Track Emulsion in Search for the Hoyle State in Dissociation of Relativistic  $^{12}\text{C}$  Nuclei // Physics of Atomic Nuclei, – 2018. – V.**81**. – №.9. – pp. 1237-1243; Зайцев А. А., Зарубин П. И. Применение ядерной эмульсии для поиска состояния Хойла в диссоциации релятивистских ядер  $^{12}\text{C}$  // Ядерная физика и инжиниринг, – 2017. – Т.**8**. – №5. – С. 425-431.

7. Artemenkov D. A. ... Zaitsev A. A. et al. Nuclear track emulsion in search for the Hoyle-state in dissociation of relativistic  $^{12}\text{C}$  nuclei // Radiation Measurements, – 2018. – V.**119**. – pp. 199-203.

8. Artemenkov D. A., Zaitsev A. A., Zarubin P. I. Unstable nuclei in dissociation of light stable and radioactive nuclei in nuclear track emulsion // Physics of Particles and Nuclei, – 2017. – V.**48**. – №.1. – pp. 147-157.

9. Artemenkov D. A. ... Zaitsev A. A. et al. Progress of analysis of dissociation of  $^{10}\text{C}$ ,  $^{10}\text{B}$  and  $^{12}\text{C}$  nuclei in nuclear track emulsion // EPJ Web of Conferences. – EDP Sciences, – 2017. – V.**138**. – pp. 01030.

10. Artemenkov D. A. ... Zaitsev A. A. et al. Unstable nuclei in coherent dissociation of relativistic nuclei  $^{7,9}\text{Be}$ ,  $^{10}\text{B}$  and  $^{10,11}\text{C}$  // Journal of Physics: Conference Series. – IOP Publishing, – 2016. – V.**724**. – №.1. – pp. 012055.

11. Artemenkov D. A. ... Zaitsev A. A. et al.  $^8\text{Be}$  and  $^9\text{B}$  nuclei in dissociation of relativistic  $^{10}\text{B}$  and  $^{11}\text{C}$  nuclei // Journal of Physics: Conference Series, – 2016. – V.**675**. – pp. 022003.

*Зайцев Андрей Александрович*

Исследование диссоциации релятивистских ядер  $^{10}\text{B}$ ,  $^{11}\text{C}$  и  $^{12}\text{C}$   
методом ядерной фотоэмulsionии

Автореф. дис. на соискание ученой степени канд. физ.-мат. наук

Подписано в печать 00.00.2000. Заказ №\_\_\_\_\_

Формат 60×90/16. Усл. печ. л. 1. Тираж 100 экз.

Типография \_\_\_\_\_